

Феномен Гравитационного Возмущения Физического вакуума Луной

К. В. Zubov^б, А. В. Zubov^а, В. А. Zubov^{б*}

^аИнститут Информатики, факультет Компьютерной Науки, университет им. Гумбольда, Д-12489 Берлин, Рудовершоссе 25, дом III, 3-ий коридор, дом Ёохана фон Ноймана, Тел.: 004930 20933181, zubow@informatik.hu-berlin.de

^бКомпания «A IST H&C», Отд. НИР, PF 520253, D-12592 Берлин, ЕС-Германия, тел.: 00493993487579, aist@zubow.de

Поступила на сайт Зайцева 20.06.2012

Аннотация

С помощью гравитационного масс спектрометра (ГМС) обнаружена гравитационная аномалия (ГА) в физическом вакууме (ФВ) траектории движения Луны. Представлены энергетические ГМС-спектры воды при прямом влиянии на неё ГА. Предложена модель формирования ГА как феномена стоячего аккумуляционного разрушения структуры ФВ движущейся Луной. Утверждается, что ГА есть устойчивое состояние разрушенного небесным телом ФВ резонансно влияющего на дальний порядок в воде гидрогеля при попадании гидрогеля и ГА в плоскость гравитационного резонанса протонов (ПГРП). Рассматривается механизм генерации гравитационного излучения ГА.

Ключевые слова. Вихри, физический вакуум, Луна, гравитационное излучение, Лилит.

1. Введение

Ранее нами описан экспериментальный метод регистрации гетерогенной структуры физического вакуума (ФВ) и дана процедура экспериментального определения энергии ФВ [1], а в работе [2] предложен новый метод дистанционной регистрации расстояний и масс гравитационных возмущений ФВ небесными телами. Возмущения среды в которой движутся материальные объекты описывается законами гидродинамики и их можно увидеть, например, в атласе Ван-Дайка [3]. Разумно представить наличие таких не видимых гравитационных возмущений в ФВ в котором движутся небесные тела. Движение их, например, Луны (~1 км/с) как тела шарообразной формы должно вызывать образование специфических вихрей в ФВ, а многократное вращение вокруг Земли может сформировать коридор гравитационного следа из суперпозиций фихрей в виде преследующей Луну стоячей ударной волны. Условно назовём среду в которой движется Луна – физическим вакуумом, а его гравитационные возмущения - вихрями тёмной материи (ТМ). Сказанное можно представить в виде следующей модели, рисунок 1.

1.1. Модель

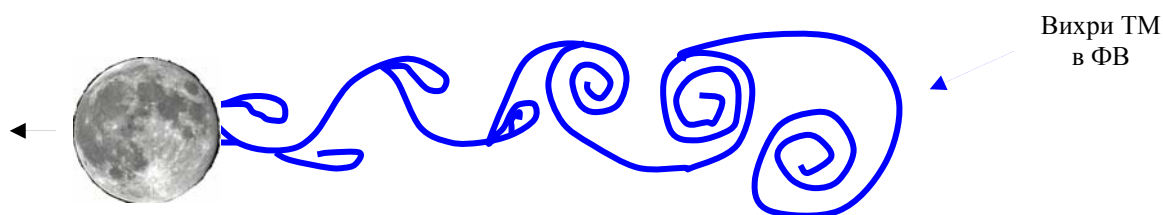


Рисунок 1. Модель движения шарообразного тела (Луна) в среде с формированием следа в виде вихрей ТМ в ФВ. Ламинарный отрыв ТМ на Луне при движении её вокруг Земли. Гипотетический первый оборот вокруг Земли.

При повторном попадании Луны в свои первоначальные вихри (1, рисунок 2), вторичный вихрь проскочит через первичные с образованием новых вихрей усиленных энергией первичных [4]. Разумно полагать усиление когерентных структур в турбулентном слое [5] при повторном входе в них Луны. Новый суммарный вихрь будет двигаться быстрее первичных и определит направление движения всего возмущения вслед за Луной (2). Многократное повторение этой процедуры сформирует устойчивое возмущение в пространстве, которое, после достижения термодинамического равновесия, будет находиться на некоей средней орбите Луны и двигаться в направлении её движения, следовать за ней (3). Этот стационарный сгусток гравитационного возмущения (ССТМ) в физическом вакууме (4) будет воздействовать резонансно на ГМС-сенсор при попадании его в плоскость гравитационного резонанса протонов (SPGPR), [2].

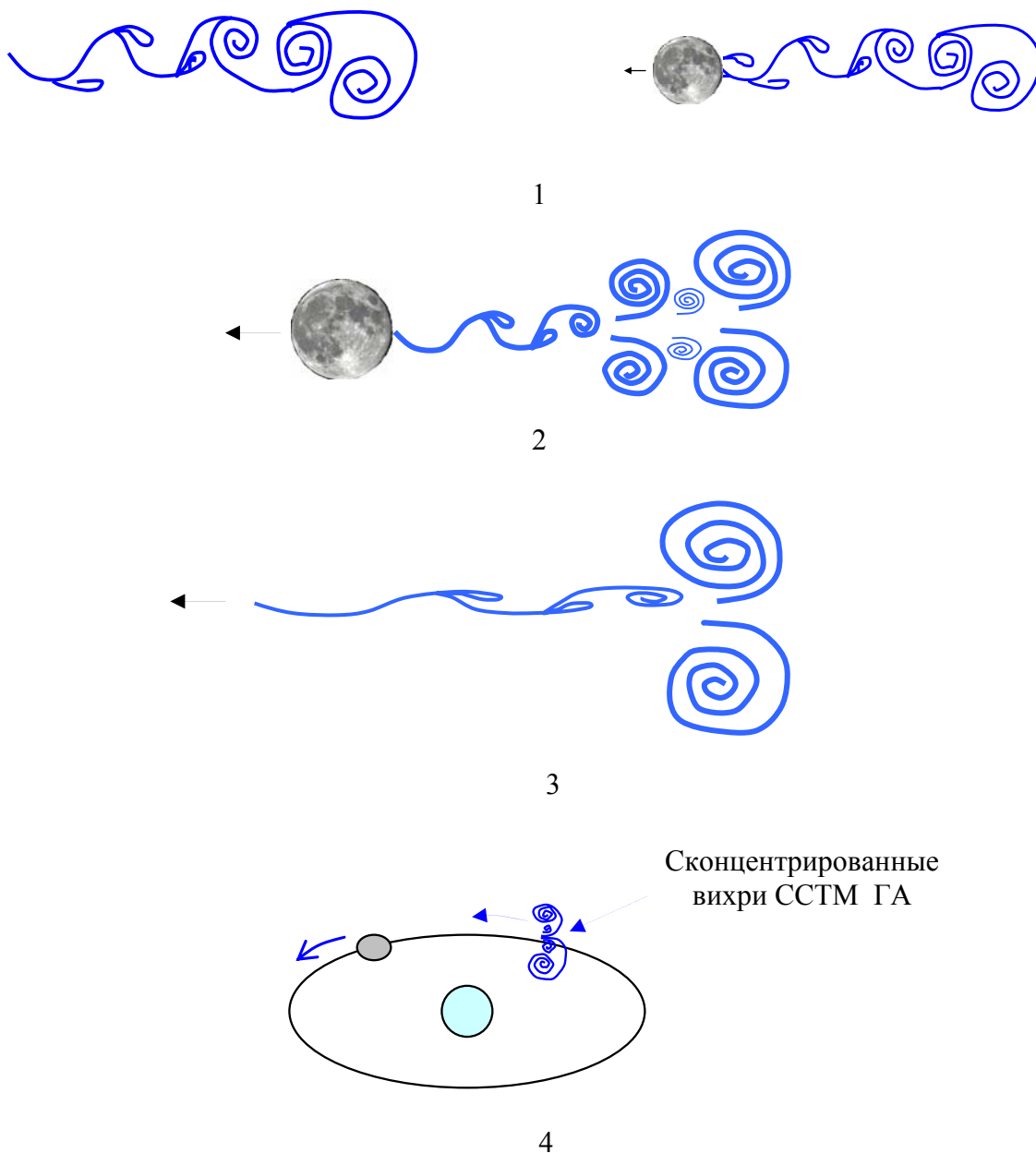


Рисунок 2. Модель формирования стационарный сгустка ГА, 1 – удар Луны в вихри в ФВ от предыдущего следа спутника, 2 – формирование нового устойчивого суммарного вихря после второго входа Луны в предыдущие вихри на её орбите (вращение вокруг Земли), 3 – формирование движущегося за Луной по инерции вихрей в материи ФВ космоса (ГА), 4 – модель движения ГА вслед за спутником.

Средой в которой происходит формирование вихрей является ФВ. ФВ можно представить как импульсное пространство энергий [6], характеризующейся высокой плотностью энергии ($\sim 5 \cdot 10^{19}$ Дж/м³, [1,2]) и очень низкой барионной плотностью материи ($\sim 10^{-29}$ г/м³). Возмущение структуры ФВ небесным телом должно возрастать каждый раз после прохождения Луны и ослабевать до последующего столкновения с ней. В среднестатистическом коридоре движения Луны вокруг Земли ГА, должен, согласно этой модели, двигаться в том же направлении, но со значительно медленной скоростью. Можно ожидать, что ГА будет испускать ГИ, которое возникнет в результате торсионных сил в вихрях ФВ и тем самым влиять на растворённую в ФВ форму протона [14]. Это излучение можно зарегистрировать разработанным нами гравитационным масс спектрометром (ГМС).

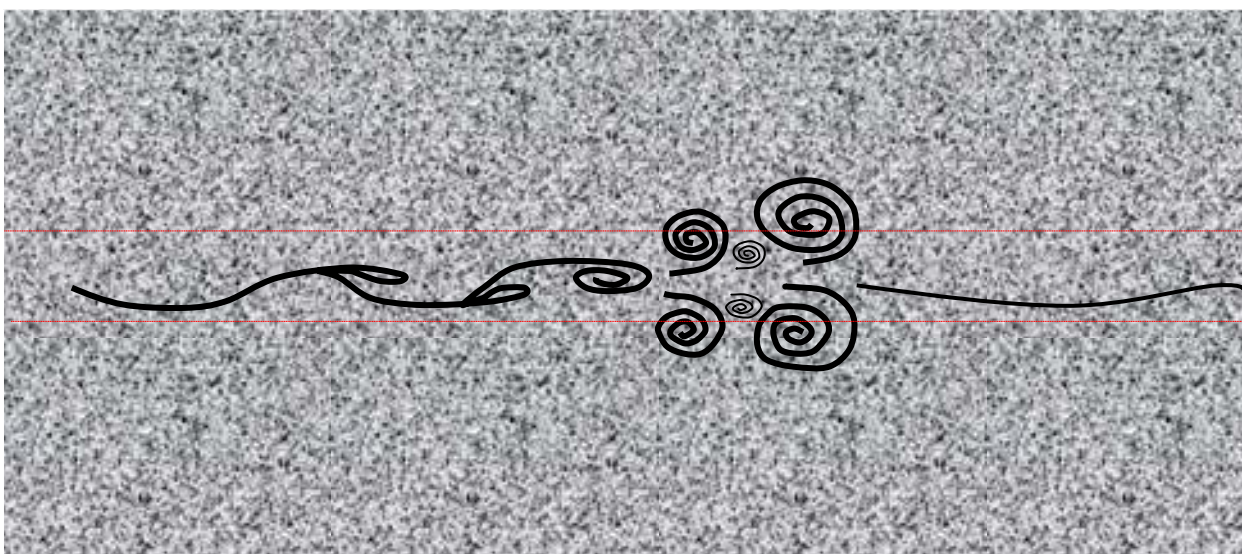


Рисунок 3. Модель ГА в импульсном пространстве физического вакуума. Пунктирными линиями обозначен гипотетический коридор движения Луны.

Проверим экспериментально такую модель. Для этого выберем место в пространстве, которое расположено на орбите Луны и следует за ней, (4) рисунок 2. Оно найдено чисто эмпирически и названо Лилит (<http://en.wikipedia.org/wiki/Lilith>).

Целью настоящей работы являлось исследование ГА с помощью резонансного гравитационного масс спектрометра [2].

2. Material and Method

Agarose hydrogel (97 wt. % water) modeling the biomatrix, was chosen as investigation objects (GMS-sensors). Here the GMS-sensor was placed into the liquids the measuring procedure of GMS was given in the publications [7,8,9,10]. The masses of molecular clusters and their frequencies were calculated according to the Zubow equation [11] using the Zubow constant $6.4 \cdot 10^{-15}$ N/m. The long-range order in the GMS-sensors at the molecular cluster level was analyzed during the period when the celestial bodies appeared in SPGPR in North Germany (53° 38' N and 12° 35' E). The GMS-sensors were placed into an earthed iron box that was protected from noises, heat and mechanical fields at most [11]. The box itself was in a building far from industrial centers and anthropogeneous noise sources. To understand the method some curves, that reflect the GR energy

flow (sum of cleaned signals), are given in [2,11]. Molecular mass clusters in the GMS-sensors were found to be formed in energy clusters of stationary gravitation waves of the space and they reflect the state of the gravitation field in the sample space. The gravitation energy flow of celestial bodies or прочих концентраций масс resonates with WGR of protons in the sensor which shall be recorded. To find the correct celestial bodies' position the program ZET 9 (www.astrozet.net) was applied. ГИ возникает при быстром вращении больших масс или осцилляций протона между его растворённой в ФВ и барионной формой [2]. Ориентация сенсора ГМС-спектрометра на ГА осуществлялась посредством плоскости гравитационного резонанса протонов (ПГРП) [2,12].

3. Результаты и их обсуждение

На рисунке 3 представлена реакция ансамбля кластеров воды в агарозном гидрогеле при попадании сенсора и ГА в ПГРП. Кривая, представленная на этом рисунке, имеет волнообразный вид. Приток гравитационной энергии, в момент появления ГА в ПГРП (чёрная точка), затем сопровождается её оттоком.

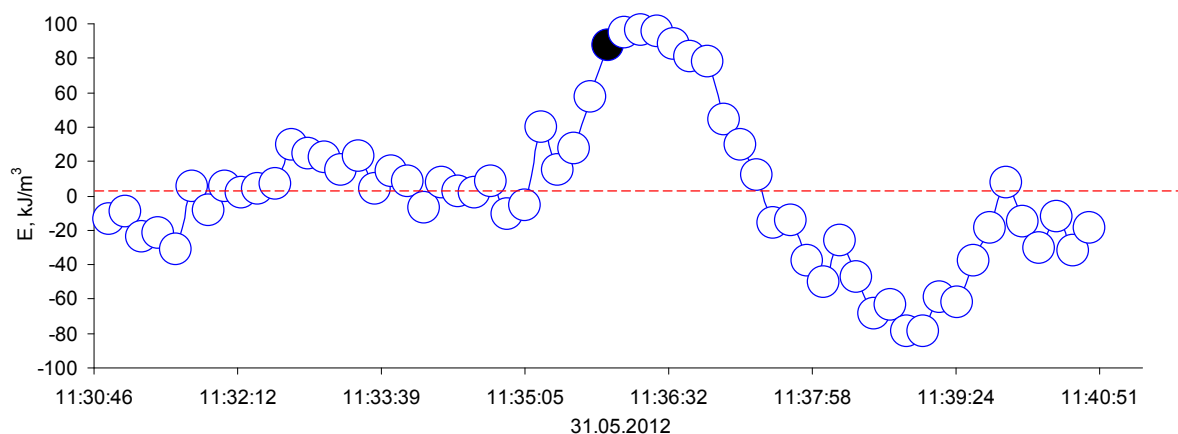


Рисунок 3. Энергия ансамбля кластеров воды в гидрогеле во время сканирования ПГРП гравитационной аномалии – вихрей в ФВ от Луны. Чёрной точкой обозначен момент попадания Лилит (www.astrozet.net) в ПГРП. Красная пунктирная линия – значение энергии испарения воды (полного распада кластеров, $2.45 \cdot 10^6$, kJ/m^3).

Гравитационная аномалия отбирает энергию у плотных, богатых энергией [13], кластеров воды в сенсоре (рисунок 4), при этом происходит сдвиг равновесия плотный-рыхлый и в воде начинают доминировать рыхлые кластеры. Но этот процесс характерен только в первый период, затем равновесие сдвигается в сторону доминирования плотных кластеров ($D_c > 50\%$).

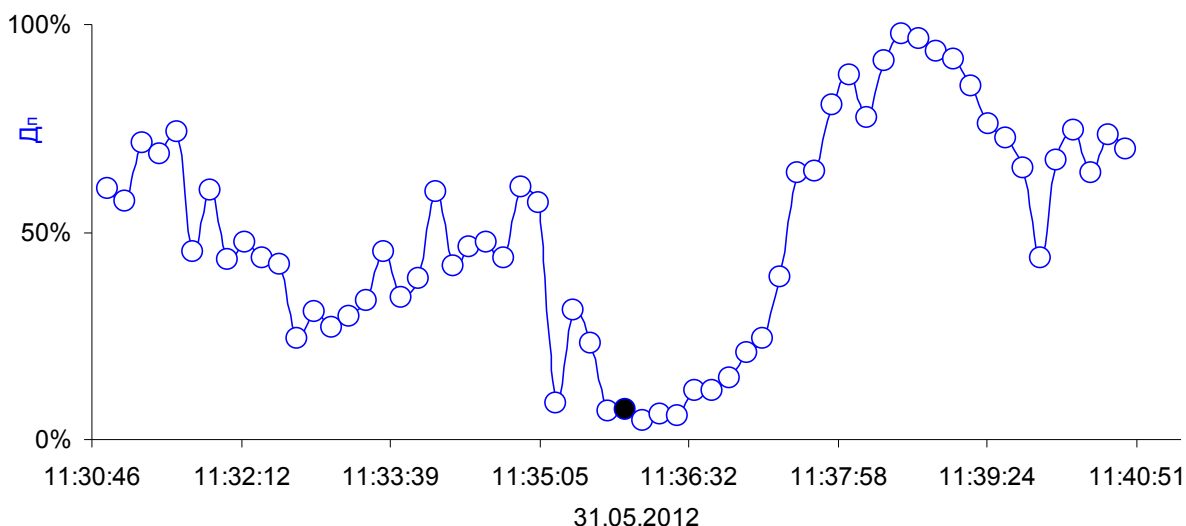
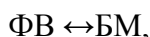


Рисунок 4. Доля плотных кластеров воды в ГМС-сенсоре в момент воздействия на него ГА.

Следовательно, ГА имеет гравитационное излучение (ГИ), которое способствует растворению протонов водородных мостиков (ВМ) между молекулами воды в ФВ [14] в воде сенсора, что и ведёт к разрыхлению кластеров. Как видно из этого рисунка, увеличение доли плотных кластеров эквивалентно их потере в первый период. Этот процесс можно сравнить с отливом и приливом гравитационной энергии, но уже не от Луны, а от её гравитационного возмущения в ФВ. Сказанное можно представить в виде равновесий барионной материи (БМ) и материи ФВ [14]:



в барионной материи это равновесие сильно сдвинуто в сторону БМ:



а в ФВ, наоборот, в сторону растворения БМ:



Растворение БМ в ФВ пространства сенсора сопровождается процессом переноса растворённой формы протона в ГА, где происходит обратный процесс – конденсация протонов из ФВ. Аналогичное явление было ранее нами зарегистрировано при исследовании ГИ Солнца и газовых гигантов [11,12]. Следовательно, принудительное разрушение структуры ФВ небесными телами приводит к конденсации протонов из ФВ и тем самым выбрасыванию излишка энергии в виде барионной материи в вихрях ФВ. Однако, этот процесс обратим и восстановление структуры ФВ приводит к медленному растворению барионной материи в исчезающих вихрях ГА (рисунок 8). Вихри можно рассматривать как локальные быстрые вращения материи в ФВ, тогда в них под воздействием торсионных сил возможна конденсация барионной материи [15].

Заметим, что в момент непосредственно после влёта Луны в своё ССТМ (19.05.2012) кривые, представленные на рисунках 3 и 4, не имеют выраженных экстремумов, однако в гравитационных «окнах» для сигналов отдельных кластеров можно проследить динамику формирования ССТМ в ГА. На рисунке 5 представлена реакция осколочного кластера воды на попадание ГА в ПГРП.

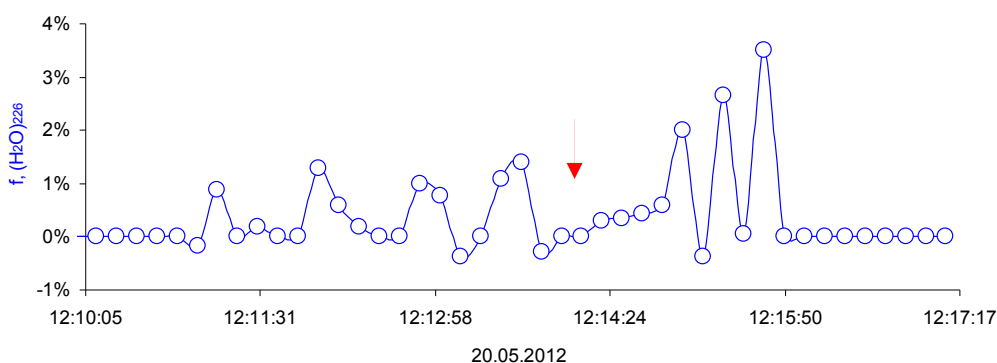


Рисунок 5. Реакция кластера (H₂O)₂₂₆ на ГА сразу после прохождения её Луной. Комментарий в тексте.

Из этого рисунка видна резонансная иерархия событий в ГА, которая соответствует модели развития вихрей в ФВ в виде стоячей волны в догонку спутника (рисунки 1 и 2). Реакция кластера на первые вихри (слева) слаба, а на последующие сильна (после стрелки).

Влияние ГА на плотность кластеров воды различна, так $(\text{H}_2\text{O})_{226}$ разрыхляется (положительные значения f), а $(\text{H}_2\text{O})_{25}$ наоборот сильно уплотняется, что свидетельствует о разном механизме влияния ГИ ГА на протоны водородных мостиков между молекулами воды сенсора.

Сканирование ГА 3 днями позже показало отсутствие сигналов $(\text{H}_2\text{O})_{226}$, однако появились новые сигналы, например, кластера $(\text{H}_2\text{O})_{4241}$ (1131 Гц). Форма кривой, также как и в случае на рисунке 2, может отражать структуру стареющего гравитационного вихря. Сравнение рисунков 2 и 3, а также исчезновение сигналов кластера $(\text{H}_2\text{O})_{226}$ можно использовать для моделирования гравитационного вихря возмущения и его старения. Интегральные характеристики ансамбля кластеров воды в гидрогеле не дают на этот вопрос однозначный ответ в силу их низкой селективности и слабости сигналов ГА. На рисунке 6, для понимания, представлен энергетический спектр ансамбля кластеров воды в гидрогеле в период попадания сенсора и ГА в ПГРП.

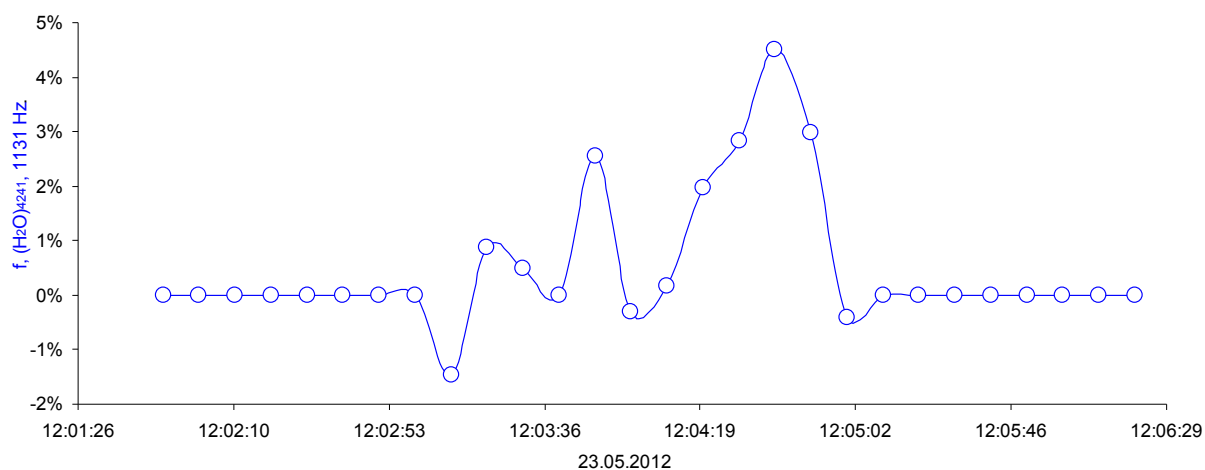


Рис. 6. Реакция кластера $(\text{H}_2\text{O})_{4241}$ на попадание ГА в ПГРП.

Сканирование гравитационной аномалии в течении длительного времени показало, что энергетический спектр гравитационных возбуждений в ансамбле кластеров воды сенсора не постоянен и меняется. Эти изменений в сильной степени зависят, например, от быстрого движения больших масс воды в дождевых облаках, что вынуждает прерывать эксперимент, а также потоков ГИ между другими небесными телами. На рисунке 4 представлен среднеэнергетический резонансный спектр ГА из результатов сканирования с 20 мая 2012 по 20 июня 2012 года.

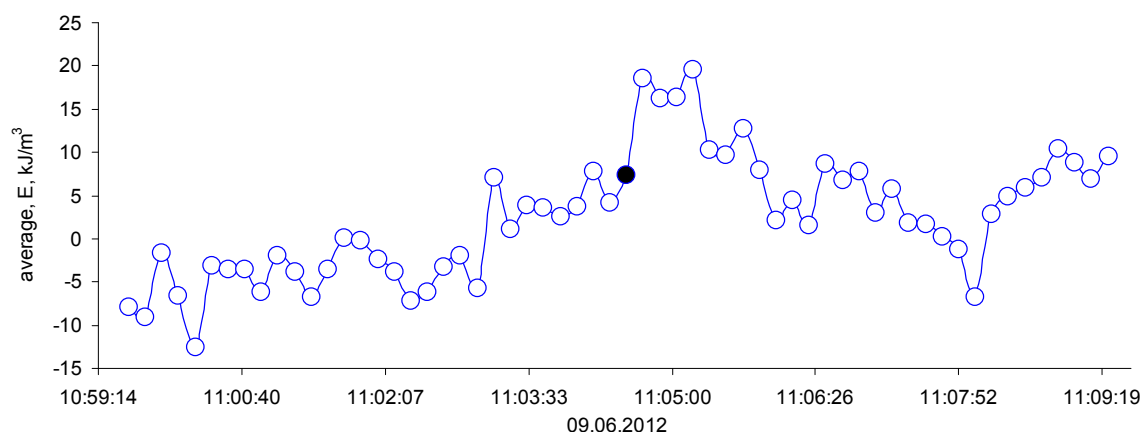


Рис. 7. Средняя энергия ансамбля кластеров воды в гидрогеле с 20 мая по 20 июня 2012 года в период сканирования ГА (время на 9 июня взято в качестве базового). Время сканирования 10 минут. Чёрной точкой обозначено время попадания ГА-Лилит (www.astrozet.net) в ПГРП.

Данные рисунков 7 и 8 подтверждают «старение» ГА. Этот процесс имеет плато с 5 по 20 сутки, а затем значения относительной энергии ансамбля кластеров воды в сенсоре резко уменьшаются переходя в область отрицательных энергий. Последний фактор указывает на протекание обратного процесса процессу конденсации из ФВ барионной материи (+ E), а именно, её растворению в ФВ (- E). Заметим, что теория ФВ в принципе разрешает такие процессы [15]. Этот вывод также подтверждает правильность наблюдений астронома Georg Waltemath 1898 г и группы независимых свидетелей, утверждавших обнаружение «Чёрной Луны - Лилит» на фоне Солнца ([http://de.wikipedia.org/wiki/Lilith_\(Mond\)](http://de.wikipedia.org/wiki/Lilith_(Mond))). По-видимому, конденсат в вихрях ГА состоит из протонов и даже атомов водорода, которые частично абсорбировали солнечный свет и астроном ошибочно принял вихри ГА за новый спутник Земли.

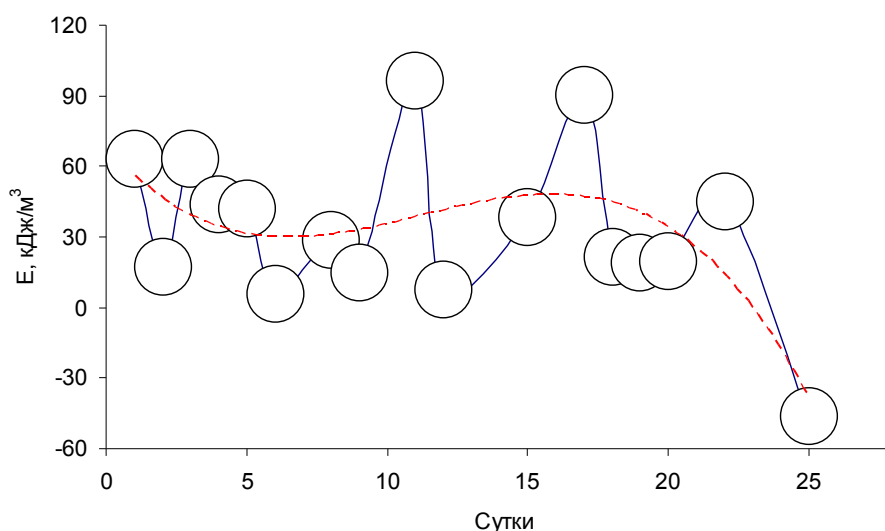


Рисунок 8. Реакция энергии ансамбля кластеров воды в сенсоре на затухание ГИ ГА-Лилит (красная пунктирная линия – сглаживающая функция: $E = -0.045t^3 + 1.5t^2 - 14.8t + 68$). Замеры с 20.05.2012 (первая точка слева), взяты максимальные значения в интервале ± 2 минуты от гипотетического положения Лилит на небосводе, t - время.

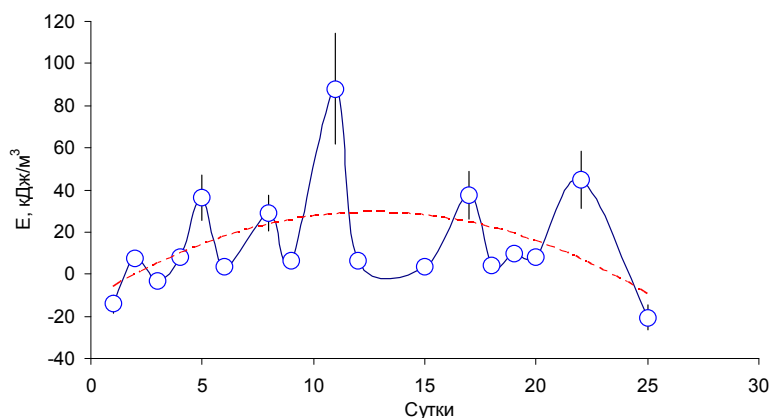


Рисунок 9. Энергия ансамбля кластеров воды в гидрогеле сенсора при попадании его и Лилит (ZET 9, www.astrozet.net) в ПГРП. Сглаживающая функция описывается следующим выражением : $E = -0.3t^2 + 6.5t - 12.2$ (пунктирная линия). Замеры с 20.05.2012 (первая точка слева).

После столкновения Луны с ГА значения энергий резко изменяются и приближаются к значениям после предыдущего столкновения – 20.05.2012. Эти результаты подтверждают модель ГА, данную на рисунках 2 и 3. Реакция осколочного кластера воды из 226 молекул на повторный удар Луны по ГА схожа с таковой 20.05.2012, рисунок 10. ГИ от ГА принуждает этот кластер к сдвигу равновесия в сторону доминирования в нём рыхлых структур.

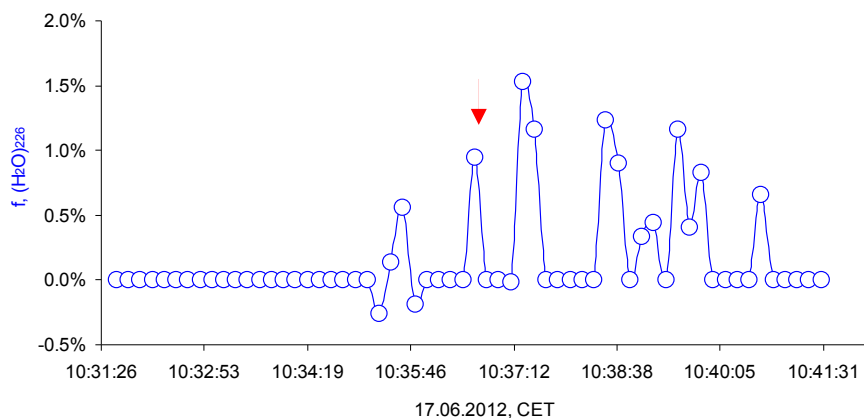


Рисунок 10. Реакция кластера $(\text{H}_2\text{O})_{226}$ на ГИ от ГА после прохождения её Луной.

Широкий спектр вихрей в турбулентной области ГА приводит к широкому спектру реакций кластеров воды сенсора, при этом в одних кластерах доминируют рыхлые, а в других плотные структуры, но основная масса кластеров воды в ансамбле не имеет выраженного доминирования той или иной формы. Этот факт также подтверждает модель ГА данной на рисунке 2.

18 мая 2012 Солнце находилось в оппозиции к центру нашей галактики (ЦГ, 179.4°). Такое расположение масс, согласно [16], ведёт к формированию потока нейтрино в сторону ЦГ. Этот поток нивелирует структуру ГИ от ГА таким образом, что в энергетическом резонансном спектре отсутствует ожидаемый экстремум, типичный для этой аномалии (рисунки 3 и 7). Однако, некоторые сигналы кластеров всё же показали наличие потока ГИ от Солнца в период попадания ГИ от ГА в ПГРП (рисунок 11). Это «окно» гравитационного излучения хорошо заметно на примере крупного кластера воды мицеллярного происхождения.

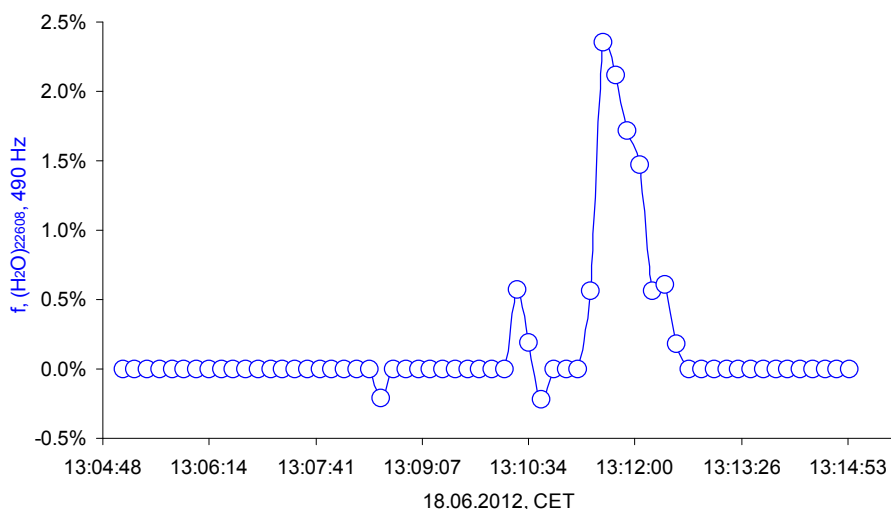


Рисунок 11. Реакция большого кластера воды в агарозном гидрогеле (490 Гц) на поток ГИ со стороны Солнца в направлении ЦГ (оппозиция, 179.4°).

Сигналы базового кластера, в период попадания Земли в поток ГИ от Солнца к ЦГ имели один диффузный минимум (13:10:10) и описывались сглаживающей функцией вида: $f = 2316.9t^2 - 2545.8t + 699.31$, где t – время. Такое поведение ансамбля кластеров свидетельствует о сильном влиянии иных потоков ГИ на структурную неоднородность ГА в ФВ.

Заключение

Движение Луны вокруг Земли характеризуется турбуленциями в физическом вакууме от этого движения.

Вихри турбуленций ФВ влияют на равновесие растворённой формы протона в физическом вакууме и его барионной формой. Этот сдвиг сопровождается гравитационным излучением влияющим на дальний порядок воды в гидросфере Земли.

Вихри в физическом вакууме от Луны формируют устойчивую гравитационную аномалию, координаты которой совпадают с Лилит.

Лилит, таким образом, влияет на биосферу Земли, путём изменения доменной структуры биоматриц, воды и биомолекул, а следовательно, на изменения биохимических процессов и как следствие поведения животных и человека.

Литература.

- [1]. Zubow K., Zubow A.V., Zubow V.A. Experimental Platform for the Investigation of the Structural Heterogeneity of the Physical Vacuum. Vacuum Energy Risks and Chances. In *Horizons of Physics*. Editor A. Reimer. NY. vol. 277. 2012.
https://www.novapublishers.com/catalog/product_info.php?products_id=29310
- [2]. Zubow A., Zubow K., Zubow V.A. New Experimental Method for Determination of Distances to Celestial Bodies and their Masses. In *Horizons of Physics*. Editor A. Reimer. Nova Science Publishers, Inc. NY. Vol. 279. 2012.
https://www.novapublishers.com/catalog/product_info.php?products_id=34674
- [3]. Milton van Dyke. An album of fluid motion. The parabolic press, Stanford, California, 1982.
- [4]. Yamada H, Matsui Tatsuya. Preliminary study of mutual slip-through of a pair of vortices. *Phys. Fluids*. 1978, vol. 21, pp. 292-294.
- [5]. Maxworthy T. Comments on “Preliminary study of mutual slip-through of a pair of vortices“. *Phys. Fluids*. 1979, vol. 22, no. 1, p. 200.
- [6]. Волков Ю.В. Нелинейная электродинамика. 3-изд. М. Спутник. 2007. С. 198.
- [7]. К.В. Зубова, А.В. Зубов, В.А. Зубов. Использование спектроскопии мерцаний в шумах для неразрушающего анализа наноструктур. Заводская лаборатория. Диагностика материалов». 2008. Т. 74. № 9. С.40-45.
- [8]. Зубов К.В., Зубов В.А., Зубов А.В. Динамика низкочастотных движений сгустков масс в процессе отверждения эпоксидных смол. *Химическая промышленность сегодня»* 2008. №9. С. 12 – 21.
- [9]. Zubow K., Zubow A.V., Zubow V.A. Water Clusters in Plants. Fast Channel Plant Communications. Planet Influence. *Journal of Biophysics Chemistry*. 2010, vol.1, no.1, pp.1-11.
- [10]. Зубова К. В., Зубов А. В., Зубов В. А. Кластерная структура жидких спиртов, воды и н-гексана //Журнал Прикладной Спектроскопии. 2005, Т.72, №3, 305-312
- [11]. Zubow K.V., Zubow A.V., Zubow V.A. Ensemble of Clusters – New Form of Molecular Matter, Risks and Chances. *Zubow Equations*. In *Advances in Chemistry Research*, vol. 5, 2010, pp. 107-145. Editor J.C. Taylor. Nova Science Publishers, Inc. NY.
https://www.novapublishers.com/catalog/product_info.php?products_id=27769

-
- [12]. Zubow K., Zubow A.V., Zubow V.A. Scanning of the Sun and other celestial bodies with help of gravitation spectroscopy . *Optic and Photonics Journal*, 2011, № 1, pp.15-23.
- [13]. [Zubow A., Zubow K., Zubow V.A. Molecular Water Clusters in River and Lake of Northern Germany and their Dynamics. Celestial Bodies Influence. Physical Chem. USA, 2012, в печати.](#)
- [14]. Zubow K., Zubow A.V., Zubow V.A. The Phenomenon of Proton Dissolving in Vacuum and of Proton Condensation from Vacuum. Two Forms of Protons, Structure of Nuclei, Electrons and Atoms. *J. of modern physics*. 2010, vol.1, no.1, pp.175-184.
- [15]. Шипов Г.И. Теория физического вакуума. Теория, эксперименты и технологии. – М.: Наука, 1997.
(http://publ.lib.ru/ARCHIVES/SH/SHIPOV_Gennadiy_Ivanovich/_Shipov_G.I.html).
- [16]. Zubow K., Zubow A.V., Zubow V.A. New gravitational channel of communication. Signals of ETI. In *Horizons of Physics*. Editor A. Reimer. NY. vol. 280. 2012, в печати, [Chapter ID: _8738_Horizons in World Physics. Volume 280.](#)